

Список использованных источников

1. Ultra-high strength medium-entropy (Ti,Zr,Ta)C ceramics at 1800°C by consolidating a core-shell structured powder / Q. Yang, X. Wang, P. Wu et al. – DOI 10.1111/jace.18197 // Journal of the American Ceramic Society. – 2022. – Vol. 105, № 2. – P. 823–829.
2. High-strength medium-entropy (Ti,Zr,Hf)C ceramics up to 1800°C / X. Wang, X. Wang, Q. Yang et al. – DOI 10.1111/jace.17677 // Journal of the American Ceramic Society. – 2021. – Vol. 104, № 6. – P. 2436–2441.

УДК 620.197.2

А.В. Пospelов, А.А. Касач, Е.О. Богдан, И.И. Курило, А.Р. Цыганов

Белорусский государственный технологический университет
Минск, Беларусь

ВЛИЯНИЯ РЕЖИМОВ ХИМИЧЕСКОГО ФОСФАТИРОВАНИЯ СПЛАВА МАГНИЯ WE43 НА СТРУКТУРУ И СВОЙСТВА ПОЛУЧЕННЫХ ПОКРЫТИЙ

Аннотация. Изучено влияние режимов химического фосфатирования легированного редкоземельными элементами сплава магния WE43 на структуру и антикоррозионные свойства синтезированных конверсионных покрытий. Установлено, что полученные кальций-фосфатные покрытия обеспечивают достаточно высокий защитный эффект (88–95%) и позволяют снизить скорость коррозии сплава WE43 в физиологическом растворе Хэнка в 5–18 раз в зависимости от длительности и температуры фосфатирования.

A.V. Pospelov, A.A. Kasach, E.O. Bogdan, I.I. Kurilo, A.R. Tsyganov

Belarusian State Technological University
Minsk, Belarus

INFLUENCE OF CHEMICAL PHOSPHATING MODES OF MAGNESIUM ALLOY WE43 ON THE STRUCTURE AND PROPERTIES OF THE OBTAINED COATINGS

Abstract. The influence of chemical phosphating modes of WE43 magnesium alloy doped with rare earth elements on the structure and anti-corrosion properties of the synthesized conversion coatings was studied. It has been established that the resulting calcium phosphate coatings provide a fairly high protective effect (88–95%) and can reduce the corrosion rate of the WE43 alloy in Hank's physiological solution by 5–18

times, depending on the duration and temperature of phosphating.

В настоящее время наиболее перспективными материалами для изготовления биодеградируемых имплантатов являются магний и его сплавы, которые наряду с высокой биосовместимостью характеризуются высокой удельной прочностью и близкой к нативной кости плотностью. В то же время известно, что данные металлические материалы в физиологических средах организма подвергаются быстрой и неравномерной коррозии с водородной деполяризацией, что может нарушать механическую целостность имплантатов и препятствовать формированию костной ткани [1].

Одним из способов повышения коррозионной устойчивости магния и его сплавов является нанесение на их поверхность кальций-фосфатных покрытий, которые характеризуются высоким биологическим сродством к нативной кости, способствуют повышению биоактивности имплантата, обеспечивают его прочное соединение с костной тканью и существенно улучшают процесс остеointеграции [2].

Кальций-фосфатные соединения являются предшественниками формирующегося в организме гидроксиапатита и способствуют локальному увеличению концентрации ионов Ca^{2+} и PO_4^{3-} вокруг поверхности имплантата, что играет важную роль в процессе роста костной ткани. Данные соединения могут существовать в виде различных кристаллических фаз, например, дикальциевого фосфата дигидрата ($\text{CaHPO}_4 \cdot 2\text{H}_2\text{O}$), дикальциевого фосфата (CaHPO_4), октакальциевого фосфата ($\text{Ca}_8(\text{HPO}_4)_2(\text{PO}_4)_4 \cdot 5\text{H}_2\text{O}$), α -трикальцийфосфата ($\alpha\text{-Ca}_3(\text{PO}_4)_2$), гидроксиапатита ($\text{Ca}_{10}(\text{PO}_4)_6(\text{OH})_2$) и др. Каждая фаза имеет различную кристаллическую структуру с различным соотношением Ca/P, а также различную способность к растворению в биологических средах. Помимо химического состава покрытия с костной тканью, немаловажными свойствами влияющим на успех имплантации, являются морфология поверхности, смачиваемость и шероховатость.

Целью работы явилось изучение влияния режимов химического фосфатирования сплава магния WE43 на структуру и защитные свойства полученных конверсионных биосовместимых покрытий.

В качестве объекта исследования использовали легированный редкоземельными элементами сплав магния WE43, номинальный состав которого представлен в таблице 1.

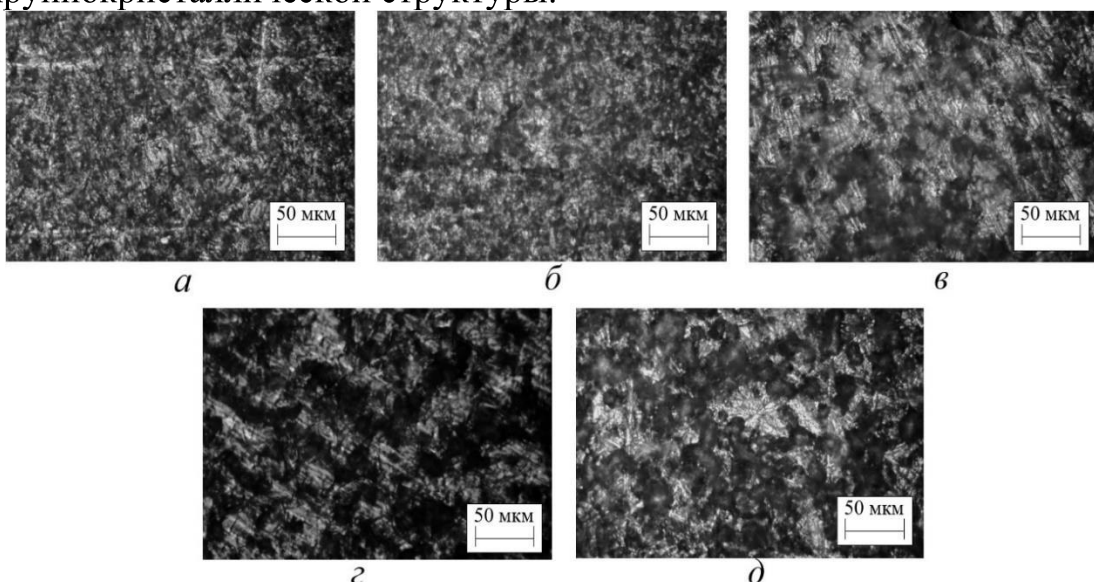
Таблица 1- Номинальный состав сплава WE43

Содержание химических элементов в сплаве, мас.%								
Al	Si	Y	Zr	Nd	Gd	Dy	Yb	Mg
0,01	0,09	4,8	0,7	2,9	0,4	0,3	0,08	баланс

Перед нанесением покрытий образцы сплава размером 20×20×5 мм подвергали полировке и шлифовке на шлифовально-шлифовальном станке METAPOL 2000P (Laizhou Lyric Testing Equipment, Китай) с последующим обезжикированием в этиловом спирте (99 %) в течение 60 с при температуре 20 °C.

Синтез конверсионных фосфатсодержащих покрытий на поверхности образцов сплава WE43 осуществляли в растворе следующего состава, моль/дм³: H₃PO₄ – 0,2; Ca (NO₃)₂ – 0,4; 2M NaOH – до pH 2,8. Температуру экспозиции варьировали в диапазоне от 25 до 60° C, время выдержки составляло 1, 10, 15, 30 и 60 минут.

Структуру покрытий, синтезированных на магниевом сплаве WE43, изучали методом оптической микроскопии (рисунок 1). Установлено, что при фосфатировании в течение 1 и 10 мин формируется наиболее однородная и мелкозернистая структура покрытия. Повышение длительности фосфатирования до 60 мин приводит к получению покрытий, характеризующихся игольчатой крупнокристаллической структуры.



Длительность фосфатирования, мин: *a* – 1; *б* – 10; *в* – 15; *г* – 30; *д* – 60

Рис. 1 - Оптические микрофотографии поверхности полученных покрытий

Оценку защитных свойств полученных покрытий проводили в растворе Хэнка (pH=7,4) следующего состава, г/дм³: NaCl – 8,0; KCl – 0,4; NaHCO₃ – 0,07; MgCl₂·7H₂O – 0,10; CaCl₂ – 0,14; NaH₂PO₄ – 0,07; KH₂PO₄ – 0,07. Электрохимические исследования коррозии

полученных образцов проводили на потенциостате / гальваностате AUTOLAB PGSTAT 302, оснащенном модулем импеданса. Рабочим электродом служили фосфатированные образцы сплава WE43, в качестве электрода сравнения использовали хлоридсеребрянный электрод, противоэлектродом являлся платиновый точечный электрод. Поляризационные кривые снимали в потенциостатическом режиме. Диапазон измерений поляризационных кривых составил от -200 до 300 мВ относительно бестокового потенциала при линейной скорости развертки потенциала 1 мВ/с.

Электрохимические параметры коррозии исследуемых образцов, рассчитанные по данным поляризационных измерений, приведены в таблице 2. Анализ данных показывает, что наименьшей коррозионной устойчивостью в растворе Хэнка обладает образец сплава магния WE43 без покрытия. Сформированное на поверхности кальций-фосфатное покрытие позволяет снизить скорость коррозии исследуемого сплава в 5–18 раз в зависимости от длительности синтеза.

Таблица 2 – Электрохимические параметры процесса коррозии образцов

Параметр	a_a , В	b_a , В	a_k , В	b_k , В	$i_{\text{кор}}$, А/см 2	E , В	Z , %
Образец сплава WE43 без обработки	$-1,21$	$0,03$	$-2,61$	$-0,26$	$1,74 \cdot 10^{-5}$	–	–
Длительность фосфатирования, мин:							
1	$-0,88$	$0,126$	$-2,18$	$-0,11$	$3,22 \cdot 10^{-6}$	$-1,58$	81
10	$0,15$	$0,30$	$-2,75$	$-0,18$	$9,24 \cdot 10^{-7}$	$-1,66$	95
15	$0,01$	$0,28$	$-2,65$	$-0,16$	$1,02 \cdot 10^{-6}$	$-1,69$	94
30	$-0,276$	$0,247$	$-2,78$	$-0,19$	$2,01 \cdot 10^{-6}$	$-1,68$	88
60	$0,06$	$0,31$	$-2,69$	$-0,17$	$1,94 \cdot 10^{-6}$	$-1,70$	89
Температура, °С:							
25	$-0,33$	$0,22$	$-2,54$	$-0,17$	$2,11 \cdot 10^{-6}$	$-1,59$	88
30	$-0,50$	$0,19$	$-2,66$	$-0,19$	$1,72 \cdot 10^{-6}$	$-1,58$	90
40	$-0,68$	$0,16$	$-2,34$	$-0,12$	$1,91 \cdot 10^{-6}$	$-1,61$	89
50	$-0,40$	$0,21$	$-2,41$	$-0,13$	$1,49 \cdot 10^{-6}$	$-1,64$	91
60	$-0,25$	$0,24$	$-2,39$	$-0,12$	$1,05 \cdot 10^{-6}$	$-1,69$	94

При экспозиции образца сплава в электролите фосфатирования в течение 10 мин формируется покрытие, характеризующееся наибольшей коррозионной стойкостью. При этом плотность тока коррозии уменьшается до $9,4 \cdot 10^{-7}$ А/см 2 по сравнению с $i_{\text{кор}}$ исходного образца сплава, которая составляет $1,74 \cdot 10^{-5}$ А/см 2 .

Увеличение температуры, при которой проводится химическое фосфатирование, от 25 до 60°C приводит к формированию покрытий, позволяющих снизить скорость коррозии сплава WE43 в 8–16 раз.

Причем наибольшим защитным эффектом (94 %) характеризуются фосфатсодержащие покрытия, синтезированные при температуре 60°C.

Выполнение исследований финансировалось в рамках гранта Президента Республики Беларусь на 2024 год и в рамках НИР ГПНИ «Химические процессы, реагенты и технологии, биорегуляторы и биооргхимия», рег. № 20240861.

Список использованных источников

1. Maguire M.E., Cowan J.A. Magnesium chemistry and biochemistry // BioMetals. 2002. Vol. 15, № 3. P. 203–210.
2. Kannan M.B., Raman R.K. In vitro degradation and mechanical integrity of calcium containing magnesium alloy in modified simulated body fluid. Biomaterials 2008; 29. P. 2306–2314.

УДК 628.196

Д.Э. Пропольский

Белорусский национальный технический университет
Минск, Беларусь

СРАВНИТЕЛЬНЫЙ АНАЛИЗ МОДИФИЦИРОВАННЫХ МАТЕРИАЛОВ С МОНОПОКРЫТИЕМ

Аннотация. Фильтрация через инертные материалы является неотъемлемым этапом всех методов обезжелезивания подземных вод. Достижение более высоких показателей очистки возможно при использовании в фильтрах каталитического слоя из модифицированных загрузок. Это также позволяет снижать затраты на станциях водоподготовки.

D.E. Prapolski
Belarusian National Technical University
Minsk, Belarus

COMPARATIVE ANALYSIS OF MODIFIED MATERIALS WITH A MONO-COATING

Abstract. Filtration through inert materials is an integral stage of all methods of iron removal from groundwater. Higher purification rates can be achieved by using a